

## مدلی جدید برای تامین انرژی شرکت توزیع برق در محیط رقابتی مبتنی بر ریسک

هادی صفری فارماد<sup>1,2</sup> ، مدیر دفتر تحقیقات ، حبیب رجبی مشهدی<sup>1</sup> ، استاد

۱- دانشکده مهندسی برق- دانشگاه فردوسی مشهد- مشهد- ایران

h-mashhadi@um.ac.ir

۲- شرکت توزیع نیروی برق استان خراسان رضوی- مشهد- ایران

h.safari.f@stu.um.ac.ir

**چکیده:** هدف این مقاله ارائه مدلی جدید برای تامین انرژی یک شرکت توزیع برق در محیط رقابتی مبتنی بر ریسک با در نظر گرفتن بارهای قابل قطع و منابع تولید پراکنده می‌باشد. برای تحقق این هدف راهکاری دو گامی مطرح شده است. در گام نخست مدلسازی واقع گرایانه بار قابل قطع و تاثیر آن بر روی مسئله برسی و نشان داده شده است که چگونه فرضیات واقع گرایانه برای مدلسازی بارهای صنعتی به عنوان بار قابل قطع می‌تواند بر روی مدلسازی و حل مسئله تاثیر گذار باشد. در گام دوم مسئله تامین انرژی شرکت توزیع در قالب یک مسئله بهینه‌سازی دو سطحی با در نظر گرفتن فرضیات واقع گرایانه در محیط مبتنی بر ریسک مدلسازی شده و روشی ابتکاری برای حل آن ارائه شده است. روش معرفی شده بر روی شبکه نمونه (شبکه توزیع برق شهرستان مشهد) پیاده‌سازی شده و نتایج عددی آن ارائه گردیده است. علاوه بر جدید بودن روش ارائه شده، نتایج مطالعات انجام شده در این مقاله به دلیل جامعیت مدلسازی و دقت جوابها می‌تواند برای شرکتهای توزیع برق کشور مورد استفاده قرار گیرد.

**واژه های کلیدی:** توزیع انرژی الکتریکی، بار قابل قطع، تولید پراکنده، برنامه ریزی تامین انرژی، ریسک، بهینه سازی.

## A Novel Risk-based Energy Acquisition Model for A Distribution Company

Hadi Safari Farmad, and Habib Rajabi Mashhadi

تاریخ ارسال مقاله : ۱۳۹۳/۸/۲۴

تاریخ پذیرش مقاله : ۱۳۹۴/۰۶/۰۴

نام نویسنده‌ی مسئول : حبیب رجبی مشهدی

نشانی نویسنده‌ی مسئول : مشهد - میدان آزادی - گروه برق دانشکده مهندسی دانشگاه فردوسی مشهد

**۱- مقدمه**

پراکنده بر عملکرد بازار بویژه وقتی تراکم در خطوط انتقال رخ می- دهد، تاثیر به سزائی دارند. واحدهای تولید پراکنده در مدیریت بار، به عنوان تشییت کننده نوسانات شدید قیمت و کاهش‌دهنده پیک آن در بازار آزاد برق نیز نقش مهمی دارند<sup>[5]</sup>. در [6] برنامه‌ریزی تامین انرژی شرکت توزیع در محیط رقابتی مطرح شده است که تنها یک مدل تک دوره‌ای است. در [7] مدل چند دوره‌ای اکتساب انرژی در نظر گرفته شده است، اما فرضیاتی مانند در نظر گرفتن مدل درجه دوم برای تابع هزینه بارهای قابل قطع و واحدهای تولید پراکنده، در نظر گرفتن یک نوع بار قابل قطع، در نظر گرفتن یک نوع قرارداد برای بار قابل قطع (ثابت در تمام ساعت‌ها) و در نظر گرفتن یک نوع واحد تولید پراکنده، مدلسازی و حل مسأله را از واقعیت دور کرده است.

**۱-۳- هدف، روش و نوآوری**

این مقاله مدلی چند دوره‌ای برای تامین انرژی شرکت توزیع در محیط رقابتی مبتنی بر ریسک با در نظر گرفتن موارد زیر معرفی می‌کند.

۱- بار قابل قطع به دو صورت بار قابل قطع قیمت پایین<sup>۸</sup> (LIL) که مربوط به خرید بار قابل قطع بدون اطلاع از زمان در دسترس نبودن انرژی و نیز میزان آن است و بار قابل قطع قیمت بالا<sup>۹</sup> (HIL) که در این حالت بار قابل قطع از قبل خریداری نمی‌شود بلکه در صورت وقوع خاموشی و در دسترس نبودن انرژی و یا نوسانات شدید قیمت از آن استفاده می‌شود، در نظر گرفته شده است.

۲- مدل واقع‌گرایانه برای بار قابل قطع لحاظ شده است.

۳- واحدهای تولید پراکنده به صورت واحدهای تولید پراکنده تحت مالکیت شرکت توزیع<sup>۱۰</sup> (DDG) و واحدهای تولید پراکنده تحت مالکیت سرمایه‌گذار<sup>۱۱</sup> (IDG)، که مالکیت آنها با شرکت توزیع نمی‌باشد، در نظر گرفته شده‌اند.

۴- ریسک حاکم بر مسأله با توجه به غیر قطعی بودن تغییرات بار و نوسانات قیمت در نظر گرفته شده است.

مدل ارائه شده به صورت یک مسأله بهینه‌سازی دوستخی توسط الگوریتم پیشنهادی حل شده و نتایج شبیه‌سازی بر روی شبکه واقعی ارائه شده است.

**۱-۴- ساختار مقاله**

در ادامه در بخش دوم این مقاله ساختار کلی بازار برق مورد نظر و در بخش سوم مدلسازی بار صنعتی به عنوان بار قابل قطع مطرح شده است. بخش چهارم به ارائه مدل تامین انرژی شرکت توزیع پرداخته و بخش پنجم الگوریتم پیشنهادی حل مسأله را بیان نموده است. در

**۱-۱- انگیزه تحقیق**

یکی از مسائل مهمی که شرکتهای توزیع برق در محیط رقابتی با آن مواجه هستند، برنامه‌ریزی روزانه تامین انرژی الکتریکی است. یک شرکت توزیع<sup>۱</sup> (Disco) معمولاً با خرید انرژی از بازار عمده فروشی<sup>۲</sup> تقاضای مشتریان (صرف کنندگان نهائی) را تامین می‌کند. با در نظر گرفتن بارهای قابل قطع<sup>۳</sup> (IL) و واحدهای تولید پراکنده<sup>۴</sup> (DG)، شرکت توزیع دارای انتخابها و تعاملات بیشتری در بازار خواهد بود. در واقع شرکت توزیع می‌تواند علاوه بر تامین انرژی مورد نیاز از طریق بازار عمده فروشی، بخشی از انرژی را از طریق بارهای قابل قطع و واحدهای تولید پراکنده نیز تامین کند. شرکتهای توزیع در برنامه‌ریزی روزانه تامین انرژی خود با دو مسأله غیر قطعی تغییرات بار و نوسانات قیمت نیز روبرو می‌باشند که این مسائل احتمال زیان ناشی از نحوه تصمیم شرکت توزیع را برای برنامه‌ریزی روزانه تامین انرژی به دنبال خواهد داشت و لذا شرکتهای توزیع در برنامه‌ریزی روزانه تامین انرژی خود با مسئله حداکثر کردن سود در محیط مبتنی بر ریسک مواجه هستند. مدلسازی واقع‌گرایانه بار قابل قطع نیز تاثیر به سزائی بر روی مدلسازی و حل مسأله دارد. در این مقاله هدف، مدلسازی برنامه‌ریزی یک شرکت توزیع برق در بازار روز-بعد<sup>۵</sup> برای تامین انرژی روزانه در محیط رقابتی مبتنی بر ریسک با در نظر گرفتن بارهای قابل قطع و واحدهای تولید پراکنده با لحاظ کردن مدل واقع‌گرایانه برای بار قابل قطع است.

**۱-۲- مروری بر ادبیات موضوع**

مطالعات بار قابل قطع عموماً در دو حوزه دسته بندی می‌شود. بخش وسیعی از مسائل مطرح شده به طراحی مکانیزم‌های انگیزشی مناسب برای مشارکت مصرف‌کنندگان در برنامه‌های پاسخگوئی بار پرداخته-اند<sup>[1]</sup>. بخش دیگری از مطالعات به بررسی تاثیر بار قابل قطع بر روی عملکرد بازار بویژه تاثیر آن بر جهش قیمت پرداخته‌اند<sup>[2]</sup>. برنامه‌های استفاده از بار قابل قطع در بسیاری از کشورها بطور وسیع اجرا می‌شود. در آمریکا<sup>۶</sup> ERCOT سالانه حدود ۱۹۶MW بار قابل قطع را در برنامه‌های خود دارد<sup>[3]</sup>. NERC در سال ۲۰۱۳ حدود ۲۶۹ MW کاهش پیک از طریق قراردادهای بار قابل قطع داشته است<sup>[4]</sup>. در ایران نیز وزارت نیرو برنامه بار قابل قطع را از طریق طرح‌های نظیر کشاورز همکار و صنایع همکار اجرا می‌کند. واحدهای تولید

<sup>۱</sup> - Distribution Company

<sup>۲</sup> - Wholesale

<sup>۳</sup> - Interruptible Load

<sup>۴</sup> - Distributed Generation

<sup>۵</sup> - Day-Ahead

<sup>۶</sup> - Electric Reliability Council Of Texas

<sup>۷</sup> - North Electric Reliability Council

<sup>۸</sup> - Interruptible load with low Price

<sup>۹</sup> - Interruptible Load with high Price

<sup>۱۰</sup> - Disco-owned distributed generation unit

<sup>۱۱</sup> - Investor-owned distributed generation unit

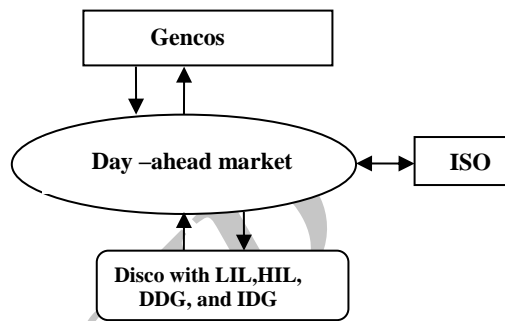
اطلاعاتی که شرکت‌های توزیع در اختیار اپراتور مستقل سیستم قرار می‌دهند عبارتند از:

- حداکثر دیماند (نمودار بار مصرفی در هر ساعت)
- حداقل و حداکثر میزان بار قابل قطع قیمت پائین تابع هزینه بار قابل قطع قیمت پائین
- حداقل و حداکثر میزان تولید و تابع هزینه واحدهای تولید پراکنده تحت مالکیت سرمایه‌گذار

بخش ششم شبکه نمونه برای مطالعه معرفی شده و نهایتاً بخش هفتم نتیجه را ارائه داده است.

## ۲- ساختار کلی بازار برق

ساختار کلی بازار مورد نظر در شکل (۱) نشان داده شده است. در این ساختار، شرکتهای تولید برق<sup>۱۲</sup> (Genco) انرژی الکتریکی را از طریق پیشنهاددهی<sup>۱۳</sup> به بازار ارائه می‌کنند.



شکل (۱) ساختار کلی بازار

**۳- مدلسازی بار مدیریت پذیر صنعتی**

در اغلب بخش‌های صنعتی انرژی الکتریکی مهمترین منبع انرژی صنعت به شمار می‌رود. بسیاری از مشترکین صنعتی می‌توانند با برنامه‌ریزی مناسب، بخشی از مصارف انرژی الکتریکی خود را از ساعات اوج مصرف به دیگر ساعات و ترجیحاً "به ساعات کمباری انتقال دهنده و از مکانیزم‌های تشویقی استفاده کنند. در بسیاری از صنایع بین زیرفرایندهای تولید ارتباط وجود دارد. بارهای صنعتی را می‌توان به دو دسته تقسیم کرد: بارهای مدیریت‌پذیر که می‌توانند در برنامه‌های مدیریت بار شرکت داشته باشند و خود به چهار دسته بارهای مستقل از فرایند، بارهای وابسته به فرایند، بارهای وابسته به میزان ذخیره و بارهای ترتیبی تقسیم می‌شوند و همچنین بارهای زمان ثابت (مانند مصارف روشنائی) که در بازه زمانی خاصی رخ می‌دهند و نقش چندانی در برنامه‌های مدیریت بار ندارند. برای مدلسازی ریاضی بار مدیریت پذیر، فرمول‌بندی بر اساس نمایش زمان گستته افق زمانی H (مثلاً یک روز) انجام می‌شود. حادثه نظیر شروع و پایان فرایند‌ها تنها در مرزهای بازه‌های زمانی مجاز هستند<sup>[۸]</sup>.

$$\sum_{i=1}^{N_t} t_i = T \quad (1)$$

متغیر باینری  $I_{mi}$  بیان می‌دارد که یک زیر فرایند<sup>۱۴</sup> (Sp) در یک بازه فعال است یا خیر.

$$I_{mi} = \begin{cases} 1 & \text{زیر فرایند } m \text{ در بازه } i \text{ روشن} \\ 0 & \text{زیر فرایند } m \text{ در بازه } i \text{ خاموش} \end{cases} \quad (2)$$

نیاز است که حداقل میزانی از تولید (محصول) نهایی در افق زمانی مورد نظر صورت پذیرد.

$$\sum_{i=1}^{N_t} \sum_{m=1}^{N_{SP}} (P_{mi} * t_{mi} * I_{mi}) \geq Q \quad (3)$$

حداکثر میزان ذخیره نیز محدود است.

$$\sum_{i=1}^{N_t} \left[ \sum_{m=1}^{N_{SP}} (P_{mi} * t_{mi} * I_{mi}) - \sum_{r=1}^{N_{SP}} (q_{ri} * t_{ri} * I_{ri}) \right] \leq S_m \quad (4)$$

محدودیت حداکثر تقاضا نیز باید در مدیریت بارها لحاظ گردد.

$$\sum_{i=1}^{N_t} \left( \frac{EP_{mi}}{pf_{mi}} \right) * I_{mi} \leq KVA_{mi} \quad (5)$$

توان ورودی هر ماشین بر حسب کیلووات عبارت است از:

$$EP_{mi} = \{(R_m * UF_{mi}) / E_{mi}\} * I_{mi} \quad (6)$$

<sup>۱۸</sup> – Sub process

اطلاعاتی که شرکت‌های تولید برق در اختیار اپراتور مستقل سیستم<sup>۱۴</sup> قرار می‌دهند عبارتند از:

- حداقل و حداکثر میزان توان تولیدی
- قیمت پیشنهادی برای توان تولیدی قابل عرضه
- حداقل و حداکثر شبیه افزایش تولید<sup>۱۵</sup>
- حداقل و حداکثر شبیه کاهش تولید<sup>۱۶</sup>

شرکت توزیع تامین تقاضای مشترکین (مصرف‌کنندگان نهایی) را معمولاً با خرید انرژی از بازار عمده فروشی انجام می‌دهد. در صورت بروز نوسان در قیمت بازار، شرکت توزیع می‌تواند با به مدار آوردن واحدهای تولید پراکنده تحت مالکیت خود و نیز بکارگیری بار قابل قطع قیمت پائین و واحدهای تولید پراکنده تحت مالکیت سرمایه‌گذار از بالا رفتن قیمت جلوگیری کند و در شرایط اضطراری نیز از بار قابل قطع قیمت بالا بهره ببرد. قیمت بار قابل قطع قیمت پائین به نزد وقوع خطأ و شرایط اضطراری بستگی ندارد و شرکت توزیع قرارداد این نوع بار را به صورت عقد قرارداد برای درخواست حداقل و حداکثر میزان انرژی درخواستی انجام می‌دهد. در حالیکه قیمت بار قابل قطع قیمت پائین به بالا شدیداً احتمالاتی است و از آن در شرایط اضطراری استفاده می‌شود و تنها در صورتی که قطع شود به آن خسارت پرداخت خواهد شد و در صورت عدم قطع هیچ پرداختی صورت نخواهد گرفت. واحدهای تولید پراکنده براساس سیگنال قیمت حاشیه‌ای محلی (LMP)<sup>۱۷</sup> وارد بازار می‌شوند.

<sup>۱۲</sup> – Generation Company

<sup>۱۳</sup> - Bidding

<sup>۱۴</sup> – Independent system operator

<sup>۱۵</sup> – Ramping-up

<sup>۱۶</sup> – Ramping-down

<sup>۱۷</sup> - Locational Marginal Pricing

هم در نظر گرفته می‌شوند. متغیرهای تصمیم در این مدل عبارتند از

$$p_{LIL,ik}, p_{IDG,ik}, p_{ij,k}, p_{G,ik}$$

#### ۴-۲- مدل تصمیم شرکت توزیع

برای مدلسازی، دوره زمانی ۲۴ ساعته در نظر گرفته شده است. ایستگاه‌های انتقال (ابتدای فیدرهای فشار متوسط) نقطه تامین انرژی شرکت توزیع از بازار عمده فروشی هستند. شرکت توزیع واحدهای تولید پراکنده تحت مأکیت خود و بارهای قابل قطع قیمت بالا را به بازار پیشنهاد نمی‌دهد، بلکه از آنها در موقع اضطراری و زمانی که LMP بالا است استفاده می‌کند. سود شرکت توزیع از اختلاف بین هزینه انرژی خریداری شده و انرژی فروخته شده به مشترکین مصرف‌کنندگان نهائی) حاصل می‌شود (معادله (۲۶)). هدف شرکت توزیع حداکثر کردن سود است، در حالی که محدودیت‌های بار قابل قطع قیمت بالا (نامعادله (۳۰)) و منابع تولید پراکنده تحت مالکیت شرکت توزیع (نامعادله (۳۱)) رعایت شود. متغیرهای تصمیم در این مدل عبارتند از  $p_{HIL,ik}$  و  $p_{DDG,ik}$ .

#### ۴-۳- ریسک در تامین انرژی شرکت توزیع

شرکت‌های توزیع در برنامه‌ریزی روزانه تامین انرژی خود با دو مسئله غیر قطعی تغییرات بار و نوسانات قیمت روپرتو می‌باشند. ریسک به احتمال زیان ناشی از سرمایه‌گذاری و یا تصمیم اشاره دارد. یکی از ساختهای ارزیابی ریسک شاخص ارزش در معرض خطر<sup>۲۱</sup> (VaR) است که یک معیار آماری برای محاسبه حداکثر زیان مورد انتظار از اجرای یک تصمیم در دوره زمانی معین و با احتمال مشخص (سطح اطمینان معلوم) است. یکی از مشکلات این شاخص ناتوانی آن در تمیز قائل شدن بین یک زیان ممکن که اندکی بزرگتر از آن است و یک زیان ممکن که خیلی بزرگتر از آن باشد است. (در بازار برق که قیمت دارای جهش و توزیع پارامترها غیر خطی است، این مسئله وجود دارد). برای غلبه بر این مشکل، در این مقاله از مفهوم ارزش در معرض خطر مشروط<sup>۲۲</sup> (CVaR) استفاده شده است که میزان مورد انتظار زیان h(X,Y) داده شده که بیشتر از زیان حتمی است را نشان می‌دهد. اگر زیان متناظر با بردار تصمیم X فرض شود که از مجموعه معین  $\Omega$  در فضای  $R^n$  انتخاب شده است و Y نیز یک بردار تصادفی در  $R^m$  و معرف عدم قطعیت‌ها باشد و با فرض اینکه Y در  $R^m$  توزیع احتمالی با چگالی  $p(Y)$  دارد، احتمال  $h(X,Y)$  از یک مقدار آستانه  $\alpha$  بیشتر نخواهد بود.

$$\psi(X, \alpha) = \int_{h(X,Y) \leq \alpha} p(Y) dY \quad (12)$$

$$\alpha_\beta(X) = \min\{\alpha \in R : \psi(X, \alpha) \geq \beta\} \quad (13)$$

هدف، حداقل سازی هزینه مصرف انرژی الکتریکی است.

$$\min \sum_{i=1}^{N_I} \sum_{m=1}^{N_{Sp}} [(EP_{mi} * t_{mi} * I_{mi} * C_i) + \{C_{ai} * I_{ai}\} * t_i] \quad (7)$$

متغیر تصمیم  $I_a$  بیان می‌دارد که زیرفرایندها در بازه‌های زمانی مورد نظر برای مدیریت بار انتخاب می‌شوند یا خیر.

$$I_{ai} = \begin{cases} 1 & \text{اجام مدیریت بار} \\ 0 & \text{عدم اجام مدیریت بار} \end{cases} \quad (8)$$

#### ۴- مسئله تامین انرژی

برای مدلسازی مسئله تامین انرژی از روش بهینه‌سازی دوسری استفاده شده است که در زیرمسئله بالائی سود شرکت توزیع حداکثر می‌شود در حالی که زیرمسئله پائینی تسویه بازار توسط اپراتور مستقل سیستم را طوری بهینه‌سازی می‌کند که هزینه تولید ژنراتورها (تولید توان توسط شرکت‌های تولید برق) و جبران سازی بارهای قابل قطع قیمت پائین حداقل شود.

#### ۴-۱- مدل تسویه بازار

فرض می‌شود که اپراتور مستقل سیستم بازار را از طریق پخش بار اقتصادی مقید<sup>۱۹</sup> تسویه می‌کند طوری که هزینه تولید ژنراتورها (تولید توان توسط شرکت‌های تولیدی) و جبران سازی بارهای قابل قطع قیمت پائین حداقل شود (معادله (۱۷)). تابع پیشنهاد قیمت واحدهای تولیدی به صورت معادله (۹) فرض می‌شود.

$$\rho_{G,ik}(p_{G,ik}) = 2\alpha_{ik} p_{G,ik} + \beta_{ik} \quad i \in GS, k \in TS \quad (9)$$

بنابراین تابع هزینه واحدهای تولیدی به صورت معادله (۱۰) است:

$$C_{G,ik}(p_{G,ik}) = (\alpha_{ik} p_{G,ik}^2 + \beta_{ik} p_{G,ik} + \gamma_{ik}) u_{ik} \quad (10)$$

$$u_{ik} = \begin{cases} 0 & \text{unit has no generation} \\ 1 & \text{unit generates} \end{cases} \quad (11)$$

$$i \in GS, k \in TS$$

محدودیت‌های ظرفیت واحدهای تولیدی (نامعادله (۱۸)), شیب تولید (نامعادلات (۲۰) و (۲۱)) باید لحاظ شود. تابع قیمت پیشنهادی واحدهای تولیدی با روش‌های نظری شبکه عصبی و نظریه بازی‌ها و با توجه به پیش‌بینی بار و قیمت‌های حاشیه‌ای محلی که توسط اپراتور مستقل سیستم منتشر می‌گردد، قابل حصول است. محدودیت‌های شیب تولید مسئله را چند دوره‌ای کرده و پارامتر در مدار آوردن واحدها<sup>۲۰</sup> بین ساعت‌های متوالی همبستگی ایجاد می‌کند. محدودیت بارهای قابل قطع قیمت پائین (نامعادله (۲۲)) و واحدهای تولید پراکنده تحت مالکیت سرمایه‌گذار (نامعادله (۲۳)) نیز باید نظر گرفته شوند. پخش بار DC (معادله (۲۴)) و تعادل بار (معادله (۲۵))

<sup>۲۱</sup> - Value-at-Risk

<sup>۲۲</sup> - Conditional Value-at-Risk

<sup>۱۸</sup> - Constraint economic dispatch

<sup>۱۹</sup> - Unit commitment

زیرمسئله پائینی نسل‌ها با توجه بهتابع برازنده‌گی ارزیابی می‌شوند تا پاسخ بهینه توسط عملگر ژنتیک جستجو گردد. پس از مقداردهی اولیه جمعیت زیرمسئله بالاتی (US)<sup>۲۶</sup>، اعضای کاندید از زیرمسئله پائینی (LS)<sup>۲۷</sup> به جمعیت افزوده می‌شوند. عملگرهای انتخاب<sup>۲۸</sup>، تقاطع<sup>۲۹</sup> و جهش<sup>۳۰</sup> مشابه روش الگوریتم ژنتیک معمولی هستند. عملگر مرتب سازی<sup>۳۱</sup> طوری طراحی شده است که اولویت انتخابی بزرگتر را به اعضای با برازنده‌گی بیشتر در جمعیت می‌دهد. زمانی که اپراتور تکامل<sup>۳۲</sup> احضار می‌شود، این جمعیت به ترتیب نزولی بر اساس برازنده‌گی طوری مرتب می‌شود که اعضای اصلاح (اعضای دارای برازنده‌گی بیشتر) در ابتدای جمعیت و اعضای عادی (اعضای دارای برازنده‌گی کمتر) در انتهای جمعیت قرار می‌گیرند. یک جمعیت نخبه<sup>۳۳</sup> خارجی برای حفظ اعضای برگزیده از هر دو جمعیت در نظر گرفته می‌شود. بعد از انجام عملگر تکامل در هر نسل، در صورتیکه اعضای این جمعیت برگزیده برازنده‌گی بیشتری داشته باشند، جایگزین اعضای فعلی خواهند شد.

### ۵-۳-۵- مدلسازی مسئله برنامه‌ریزی تامین انرژی

مسئله تامین انرژی یک مسئله بهینه‌سازی دوسری است. زیرمسئله پائینی:

$$\min \left[ \left( \sum_{i=1}^{N_g} \sum_{k=1}^{24} (\alpha_{ik} p_{Gik}^2 + \beta_{ik} p_{Gik} + \gamma_{ik}) u_{ik} \right) + \left( \sum_{i=1}^{N_H} \sum_{k=1}^{24} CLIL_{i,k} \right) + \left( \sum_{i=1}^{N_DG} \sum_{k=1}^{24} C_{IDG,ik} \right) \right] \quad (17)$$

s.t.

$$p_{G,ik}^{\min} \leq p_{G,ik} \leq p_{G,ik}^{\max} \quad (18)$$

$$-p_{ij,k}^{\min} \leq p_{ij,k} \leq p_{ij,k}^{\max} \quad (19)$$

$$p_{G,ik} - p_{G,i(k-1)} \leq Ru_{G,ik} \quad (20)$$

$$p_{G,i(k-1)} - p_{G,ik} \leq Rd_{G,ik} \quad (21)$$

<sup>۲۷</sup> – Upper subproblem

<sup>۲۸</sup> – Lower subproblem

<sup>۲۹</sup> – Select

<sup>۳۰</sup> – Crossover

<sup>۳۱</sup> – Mutation

<sup>۳۲</sup> – Sort

<sup>۳۳</sup> – Co-evolutionary

<sup>۳۴</sup> – Elite

$$\phi_\beta(X) = \frac{1}{1-\beta} \int_{h(X,Y) \geq \alpha_\beta(X)} h(X,Y) p(Y) dY \quad (14)$$

که  $\Phi_\beta(X)$  و  $\alpha_\beta(X)$  به ترتیب معرف VaR و CVaR در یک سطح احتمال داده شده  $\beta \in (0,1)$  هستند. با توجه به آنکه شکل تحلیلی تابع چگالی احتمال (Y) در معادله (14) ممکن است معلوم نباشد، این معادله به صورت زیر تقریب زده می‌شود:

$$\hat{\phi}_\beta(X) = \alpha + \frac{1}{I(1-\beta)} \sum_{k=1}^I h((X, Y_k) - \alpha)^+ \quad (15)$$

$$(t)^+ = \begin{cases} t & \forall t > 0 \\ 0 & \forall t \leq 0 \end{cases} \quad (16)$$

که  $Y_k$  معرف نمونه k ام از داده‌های نمونه است که می‌تواند از طریق داده‌کاوی و یا شبیه‌سازی مونت کارلو<sup>۳۵</sup> بدست آید.

### ۵- حل مسئله برنامه‌ریزی تامین انرژی شرکت توزیع

مدل تامین انرژی شرکت توزیع، معادلات (۹) – (۲۳) یک مسئله بهینه‌سازی دوسری است که در زیرمسئله بالاتی سود شرکت توزیع حداقل می‌شود در حالیکه زیرمسئله پائینی تسویه بازار توسط اپراتور مستقل سیستم را طوری بهینه‌سازی می‌کند که هزینه تولید ژنراتورها (تولید توان توسط شرکت‌های تولیدی) و جبران‌سازی بارهای قابل قطع قیمت پائین حداقل شود.

### ۱-۵- بهینه‌سازی دوسری

در مسائل دوسری (BP) بهینه‌سازی زیرمسئله بالاتی با توجه به متغیرهای تصمیم بهینه‌سازی زیرمسئله پائینی صورت می‌پذیرد. در حالت کلی ممکن است توابع هدف و یا قیود BP خطی و مشتق پذیر و یا حتی در همه نواحی پیوسته و محدب نباشند. هنگامی که توابع هدف و قیود توابع درجه دوم هستند، مسئله را می‌توان با روش‌های ریاضی متعددی حل کرد [9]، اما وقتی که توابع هدف و قیود خطی، گسسته و یا فرم‌های خاص، مانند آنچه در شکل (۴-۲) نشان داده شده است، باشند، همگرایی و سرعت همگرایی و لذا دقیقت جوابها تحت تاثیر قرار خواهد گرفت. برای غلبه بر این مشکل الگوریتم حل ابتکاری پیشنهاد شده است. [10].

### ۲-۵- روش ابتکاری حل مسئله برنامه‌ریزی تامین انرژی

فلوچارت روش ابتکاری حل مسئله که "بهینه‌سازی دوسری" توسط الگوریتم ژنتیک<sup>۳۶</sup> (GABLO) نامیده شده است، در [10] نشان داده شده است.

ایده اساسی روش معرفی شده به این صورت است که در مرحله اول، جمعیت اولیه طوری انتخاب می‌شود که قیود رعایت شوند. سپس در

<sup>۳۴</sup> - Monte Carlo Simulation

<sup>۳۵</sup> - Bilevel Problem

<sup>۳۶</sup> - Genetic Algorithm For Bilevel Optimization

تولید پراکنده است. سیستم مورد نظر از طریق چهار استگاه انتقال/توزيع تغذیه می‌شود. در ناحیه تحت پوشش این سیستم شرکت سیمان مشهد به عنوان بار قابل قطع قیمت بالا در برنامه‌های بار قابل قطع مشارکت دارد که برای مدلسازی واقع‌گرایانه مورد استفاده قرار گرفته است. فرایند تولید (شکل (ض-۲)) شامل سه بخش عمده است. مواد اولیه وارد سنجشکن شده و بعد از اختلاط اولیه توسط نوار نقاله وارد سیلوی مواد خام خواهد شد و سپس به همراه سنگ سیلیس و سنگ آهک و سنگ آهن وارد آسیاب مواد شده و بعد از این مرحله مواد پس از عبور از پیش‌گمکن وارد کوره شده و تبدیل به کلینکر می‌شود. در مرحله بعد مواد کلینکر شده بعد از عبور از منطقه خنک کن با گچ و پوزولان مخلوط شده و وارد آسیاب سیمان شده، به صورت پودر وارد سیلوهای سیمان و از طریق بارگیرخانه به صورت فله و پاکتی در بارگیرخانه بارگیری و به مشتری تحویل می‌گردد. شکل (ض-۳) درصد مصرف انرژی الکتریکی در هریک از سه بخش را نشان می‌دهد. شرکت سیمان می‌تواند سه بخش مذکور را به صورت مجزا برنامه‌ریزی کند. این شرکت در سه شیفت کاری در روز تولیدی در حدود ۲۰۰۰ تن دارد (در حدود ۸۳/۳ تن در ساعت). ضریب بار در دو شیفت اول ۸۳٪ و در شیفت سوم ۶۳٪ می‌باشد. تجهیزات برحسب کنترل پذیری به پنج گروه تقسیم می‌شوند که شامل ۱۱ زیرفرایند مطابق جدول (ض-۱) است. مصارف اداری و روشنایی روزانه در دو شیفت اول ۷۳ KWh و در شیفت سوم ۹۸ KWh است. از حل مسئله بهینه‌سازی (معادله (۸) بخش (۳)) نتیجه می‌شود که شرکت سیمان مشهد می‌تواند در برنامه بار قابل قطع به صورت شکل (ض-۴) مشارکت کند. ۱ شروع برنامه مدیریت بار است. سایر اطلاعات مربوط به سیستم مورد مطالعه در جداول (ض-۲)-(ض-۶) و پروفایل بار مصرفی در شکل (ض-۵) نشان داده شده است.

## ۲-۶ یافته‌ها

برای مطالعه موردي، شبکه توزيع برق شهرستان مشهد استفاده شده است. فرضيات زير در اين مطالعه لحاظ شده اند.  
- بهای برق پرداختی توسط مشترکين به صورت زير است:  
(1\$ = 31000 Rials)

$$\lambda = \begin{cases} 1.5 \text{ Rials/Wh at } 6:00 - 19:00 \\ 2.1 \text{ Rials/Wh at } 19:00 - 23:00 \\ 0.9 \text{ Rials/Wh at } 23:00 - 6:00 \end{cases}$$

- توابع هزينه بعضی از بارهای قابل قطع مرتبه دوم یا خطی فرض می‌شود.

$$C_{LIL} = \kappa_1 \cdot P^2_{LIL} + \kappa_2 \cdot v \cdot P_{LIL} + \kappa_3 \quad (33)$$

$$C_{HIL} = \tau_1 \cdot P^2_{HIL} + \tau_2 \cdot v \cdot P_{HIL} + \tau_3 \quad (34)$$

$$P_{LIL,ik}^{\min} \leq P_{LIL,ik} \leq P_{LIL,ik}^{\max} \quad (22)$$

$$P_{IDG,ik}^{\min} \leq P_{IDG,ik} \leq P_{IDG,ik}^{\max} \quad (23)$$

$$\sum_{i=1}^B \sum_{j=1}^B p_{ij} x_{ij} = 0 \quad (24)$$

$$p_{G,ik} - (p_{D,ik}^{\max} - p_{ILL,ik} - p_{ILH,ik} - p_{DDG,ik} - p_{IDG,ik}) + \sum_{j=1}^{B(i)} p_{ij,k} = 0 \quad (25)$$

زيرمسئله بالائي:

$$\begin{aligned} B = & \left[ \left( \sum_{i=1}^{N_D} \sum_{k=1}^{24} (\lambda_k (P_{D,ik}^{\max} - P_{LIL,ik} - P_{HIL,ik})) \right) \right. \\ & - \left( \sum_{i=1}^{N_D} \sum_{k=1}^{24} \left[ \rho_{D,ik} \cdot (P_{D,ik}^{\max} - P_{LIL,ik} - P_{HIL,ik}) \right. \right. \\ & \left. \left. - (P_{DDG,ik} - P_{IDG,ik}) \right] \right] \\ & - \sum_{i=1}^{N_D} \sum_{k=1}^{24} (C_{HIL,ik} + C_{DDG,ik}) \end{aligned} \quad (26)$$

$$F = -B \quad (27)$$

$$\max E(B) \quad (28)$$

$$\min_{q,\alpha} CVaR = \alpha + \frac{1}{l(1-\beta)} \sum_{k=1}^l (F^k - \alpha)^+ \quad (29)$$

s.t.

$$P_{HIL,ik}^{\min} \leq P_{HIL,ik} \leq P_{HIL,ik}^{\max} \quad (30)$$

$$P_{DDG,ik}^{\min} \leq P_{DDG,ik} \leq P_{DDG,ik}^{\max} \quad (31)$$

and constrains (18)-(25)

$$E(B) \geq \beta_0 \quad (32)$$

كه E اپراتور اميد،  $\beta_0$  حد پائين درآمد مورد انتظار، l تعداد كل نمونهها ( ساعتها ) ،  $F^k$  زيان تصميم k امين نمونه ( ساعت k ) و كميت  $\alpha$  سطح اطميان است. متغيرهاي تصميم در زيرمسئله پائيني عبارتند از  $P_{LIL,ik}$   $P_{G,ik}$   $P_{ij,k}$   $P_{IDG,ik}$  و متغيرهاي تصميم زيرمسئله بالائي عبارتند از  $P_{HIL,ik}$   $\alpha$  ،  $P_{DDG,ik}$ .

## ۶- مطالعه موردي

برای مطالعه موردي شبکه توزيع برق شهرستان مشهد مورد استفاده قرار گرفته است. شرکت توزيع نیروي برق شهرستان مشهد مسئليت توزيع انرژي الکتریکی در شهرستان‌های مشهد، طرقه و شاندیز با تعداد حدود یك ميليون مشترك را به عهده دارد.

### ۶-۱- معرفی سیستم مورد مطالعه

شکل ساده شده سیستم مورد مطالعه (شکل (ض-۱)) هشت باسه و شامل سه تولیدکننده عده برق، شش بار قابل قطع و چهار واحد

حالت دوم: در این حالت نقش بارهای قابل قطع و واحدهای تولید پراکنده در حالتی که در سیستم تراکم رخ می‌دهد و محدودیت‌های شیب نیز فعال هستند در چهار حالت در نظر گرفته می‌شود.

۲-الف شرکت توزیع بار قابل قطع و واحد تولید پراکنده ندارد.

۲-ب شرکت توزیع بار قابل قطع ندارد اما واحد تولید پراکنده دارد.

۲-ج شرکت توزیع بار قابل قطع دارد اما واحد تولید پراکنده ندارد.

۲-د شرکت توزیع هم بار قابل قطع و هم واحد تولید پراکنده دارد.

۱-در حالت ۲-الف تراکم منجر به بالا رفتن LMP‌ها می‌شود، سود شرکت توزیع با توجه به این که بار قابل قطع و واحد تولید پراکنده ندارد و باید تامین انرژی را از بازار عمده فروشی با قیمت‌های بالا انجام دهد، منفی خواهد بود.

۲- در حالت ۲-ب وقتی قیمت‌های بازار بالا است، شرکت توزیع ترجیح می‌دهد که از واحدهای تولید پراکنده بهره ببرد که این مساله باعث کاهش میزان تقاضا و لذا کاهش قابل توجه LMP‌ها نسبت به حالت ۲-الف خواهد شد و در نتیجه سود شرکت توزیع افزایش می‌یابد و این بدان معناست که وقوع تراکم تمایل شرکت توزیع به استفاده از واحدهای تولید پراکنده را افزایش می‌دهد.

۳- علاوه بر واحدهای تولید پراکنده، بار قابل قطع نیز منبع مفیدی برای مقابله با تراکم می‌باشد، همچنانکه در حالت ۲-د نشان داده شده است، وقتی که میزان تقاضای شرکت توزیع کاهش می‌یابد، LMP‌ها نسبت به حالت ۲-الف کمتر خواهد بود که اهمیت قراردادهای بار قابل قطع را نشان می‌دهد. باید توجه داشت که قیمت HIL نسبت به LIL بالاتر است بنابراین عموماً استفاده از LIL ترجیح داده می‌شود.

۴- وقتی واحدهای تولید پراکنده و بارهای قابل قطع وجود دارند (حالتهای ۲-الف، ۲-ب و ۲-ج)، هزینه کمتری به واحدهای تولیدی پرداخت می‌شود و این مسأله از قیمت‌دهی استراتژیک واحدهای تولیدی و ممانعت از ارائه توان<sup>۳۷</sup> جلوگیری می‌کند. مقایسه بین استراتژی‌های بهینه و سود شرکت توزیع و هزینه پرداختی به واحدهای تولیدی و LMP در باس‌های مختلف و نیز تاثیر بار قابل قطع و واحدهای تولیدی بر CVaR در جدول (ض-۲) نشان داده شده است.

## ۷- نتیجه

در این مقاله، روش جدیدی برای تصمیم‌گیری یک شرکت توزیع برای اکتساب انرژی در بازار روز- بعد در محیط رقابتی مبتنی بر ریسک با لحاظ کردن بارهای قابل قطع و واحدهای تولید پراکنده مطرح شد. یکی از مهم ترین مفاهیمی که معرفی شد، توجه به فرضیات واقع-گرایانه برای مدلسازی بار قابل قطع است. روش پیشنهادی می‌تواند برای به دست آوردن درک خوبی از مدل سازی بار قطع به کار رود که در مطالعات مربوط به برنامه‌ریزی اکتساب انرژی شرکت‌های توزیع در

- توان اکتیو واحدهای تولید پراکنده تحت مالکیت شرکت توزیع به روش در مدار آوردن واحدها مدیریت می‌شود و در محلهای از پیش تعیین شده نصب می‌باشند و تابع هزینه آن‌ها معلوم است.

$$C_{DDG} = \sum_{k=1}^{24} \left[ \sum_{i=1}^{N_{DDG}} b1_{ik} \cdot STC_i + b2_{ik} \cdot SDC_i + B1_i \cdot d_{ik} + B2_i \cdot P_{DDGik} \right] \quad (35)$$

- واحدهای تولید پراکنده تحت مالکیت سرمایه‌گذار با شرکت توزیع قرارداد دو جانبه با قیمت از پیش معلوم دارند.

$$C_{IDG} = \sum_{k=1}^{24} \left[ \sum_{i=1}^{IDG} \gamma 1_i \cdot P_{IDGik}^2 + \gamma 2_i \cdot P_{IDGik} + \gamma 3_i \right] \quad (36)$$

- استراتژی شرکت توزیع در تامین انرژی به میزان تقاضای مشترکین و قیمت‌های حاشیه‌ای محلی بازار بستگی دارد.

- سطح اطمینان (α) معادل ۹۰٪ و حداقل سود مورد انتظار ۲۰٪ فرض شده است.

با توجه به شکل (ض-۵) ملاحظه می‌شود که تقاضا<sup>۳۴</sup> در ساعتهای قبل از ۱۸:۰۰ و بعد از ۲۳:۰۰ به آرامی افزایش می‌یابند. در این ساعت‌ها می‌توان از تاثیر شیب تولید<sup>۳۵</sup> بر روی LMP صرف نظر کرد. برای تحلیل دو حالت در نظر می‌گیریم.

حالت اول: سه دوره زمانی پیوسته ۱۸:۰۰-۲۰:۰۰-۲۰:۰۰-۱۸:۰۰ را در نظر می‌گیریم در این حالت محدودیت شیب تولید برای برخی از واحدهای تولیدی و نیز محدودیت انتقال توان برای برخی از خطوط قعال است. این سه دوره زمانی با یکدیگر وابستگی دارند.

۱- G3 در مقایسه با G4 و G2.G1 و احد گران قیمتی است. بنابراین تولید آن باید حتی الامکان کم باشد. اگر بار، در باس ۳ افزایش یابد، تولید G3 افزایش می‌یابد در حالیکه تولید سایر ژنراتورها (واحدهای ارزانتر) به دلیل وقوع تراکم در خطوط انتقال کاهش می‌یابد که منجر به بالا رفتن LMP می‌شود.

۲- در ساعت ۱۸:۰۰ تولید G3 به محض مواجه شدن با محدودیت شیب تولید افزایش می‌یابد. وقتی افزایش بار در باس ۱ رخ دهد، تولید G3 تغییری نخواهد کرد. بنابراین علیرغم اینکه محدودیت‌های شیب تولید فعل هستند، LMP‌ها کمتر هستند. همچنین می‌توان نتیجه گرفت که کاهش تولید واحدهای ارزانتر یا افزایش تولید واحدهای گرانتر می‌تواند منجر به وقوع کمتر تراکم گردد. با توجه به اینکه LMP‌ها در ساعت ۱۸:۰۰ کمتر هستند، شرکت توزیع علاقه دارد که انرژی بیشتری از بازار عمده فروشی تامین کند بنابراین تمایل به اجرای برنامه‌های بار قابل قطع قیمت پائین کمتر است. در ساعت ۱۹:۰۰ محدودیت‌های شیب تولید تاثیر کمتری دارند. با افزایش تقاضا و به دلیل محدودیت شیب تولید در ساعت ۲۰:۰۰، LMP‌ها خیلی بالا هستند، بنابراین برای حداقل شدن سود شرکت توزیع بار قابل قطع قیمت پائین بیشتری لازم است. همین تحلیل را می‌توان برای دوره سه ساعته ۲۲:۰۰-۲۳:۰۰-۲۱:۰۰ نیز بکار بست.

<sup>۳۴</sup> – Demand

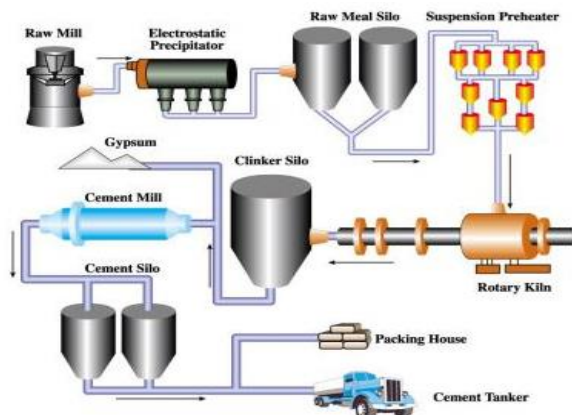
<sup>۳۵</sup> – Ramping limit

کشور مورد استفاده قرار گیرد. علاوه بر این، مفهوم پیشنهادی می‌تواند به سادگی در سیستم متشکل از چند شرکت توزیع نیز مورد استفاده قرار گیرد. محیط واقعی مفید است. نتایج به دست آمده به اپراتور مستقل بازار و شرکت توزیع در اتخاذ بهترین تصمیم کمک می‌کند. علاوه بر جدید بودن روش ارائه شده، نتایج مطالعات انجام شده در این مقاله به دلیل جامعیت مدلسازی و دقیق جوابها می‌تواند برای شرکت‌های توزیع برق

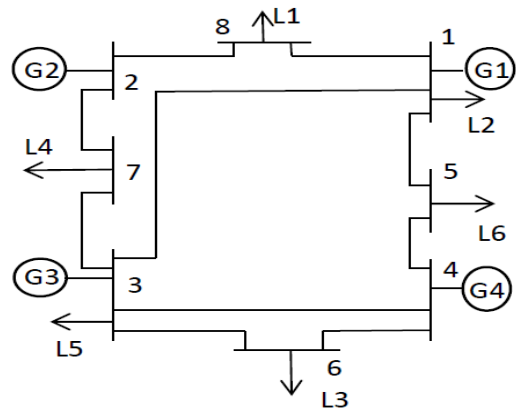
## ۱- فهرست علائم

|                                |   |                         |  |
|--------------------------------|---|-------------------------|--|
| $P_G$                          | تولید پذیرفته شده واحدهای تولیدی              | $K$                     | اندیس مربوط به ساعتها                        |
| $P_G^{min}$                    | حداقل توان تولیدی واحد تولیدی                 | $i,j$                   | اندیس مربوط به باسها                         |
| $P_G^{max}$                    | حداکثر توان تولیدی واحد تولیدی                | $\alpha, \beta, \gamma$ | ضرائب تابع هزینه واحدهای تولیدی (Genco)      |
| $N_I$                          | مجموعه بازه های زمانی                         | $R_{uG}$                | شیب افزایشی تولید                            |
| $N_{SP}$                       | مجموعه زیرفرایندها                            | $R_{dG}$                | شیب کاهشی تولید                              |
| $T$                            | افق زمانی                                     | $U$                     | متغیر مربوط به در مدار آمدن واحدهای تولیدی   |
| $t$                            | بازه زمانی                                    | $P_{i,j}$               | توان انتقالی از خط $i-j$                     |
| $I$                            | متغیر تصمیم باینری زیرفرایند                  | $P_{i,j}^{min}$         | حد اقل توان انتقالی از خط $j-i$              |
| $P_{mi}$                       | نرخ تولید در زیرفرایند.                       | $P_{i,j}^{max}$         | حد اکثر توان انتقالی از خط $j-i$             |
| $q_{mi}$                       | خروجی زیرفرایند                               | $X_{i,j}$               | راکتانس خط $j-i$                             |
| $E_{mi}$                       | بازده ماشین آلات زیرفرایند                    | $N_g$                   | تعداد باسها تولید                            |
| $UF_{mi}$                      | ضریب بهره‌وری ماشین آلات زیرفرایند            | $P_D^{max}$             | حد اکثر تقاضا (demand) شرکت توزیع            |
| $KVA_{mi}$                     | محددیت حداکثر تقاضا (دیماند)                  | $B$                     | تعداد باسها                                  |
| $EP_{mi}$                      | توان الکتریکی ورودی برحسب kW                  | $B(i)$                  | تعداد باسها متعلق به باس $i$                 |
| $R_{mi}$                       | ظرفیت نامی ماشین آلات زیرفرایند بر حسب kW.    | $L$                     | تعداد حلقه‌های مستقل                         |
| $pf_{mi}$                      | ضریب قدرت                                     | $BS$                    | تعداد شاخه‌ها                                |
| $S$                            | میزان ذخیره در انتهای زیرفرایند               | $BSI$                   | تعداد شاخه‌های حلقه مستقل ۱                  |
| $C_i$                          | هزینه انرژی الکتریکی                          | $BD$                    | تعداد باسها تغذیه شبکه توزیع                 |
| $C_{ai}$                       | هزینه مدیریت بار                              | $BLI$                   | تعداد باسها بار قابل قطع قیمت پائین (LIL)    |
| $DDG$                          | واحدهای تولید پراکنده تحت مالکیت شرکت توزیع   | $BHI$                   | تعداد باسها بار قابل قطع قیمت بالا (HIL)     |
| $IDG$                          | واحدهای تولید پراکنده تحت مالکیت سرمایه‌گذار  | $GS$                    | تعداد واحدهای تولیدی (Genco)                 |
| $P_{DDG}$                      | توان تولیدی DDG                               | $TS$                    | مجموعه ساعتها                                |
| $P_{IDG}$                      | توان تولیدی IDG                               | $\rho_G$                | LMP پرداختی به واحد تولیدی (Genco)           |
| $b1,b2,d$                      | متغیرهای باینری روشن شدن، خاموش شدن و به مدار | $\rho_D$                | قیمت بازار برق (LMP پرداختی توسط شرکت توزیع) |
|                                | $b1,b2,d$                                     | $DDG$                   | تقاضای خالص شرکت توزیع                       |
| $STC$                          | هزینه روشن شدن DDG                            | $P_{LIL}$               | میزان بار قابل قطع قیمت پائین پذیرفته شده    |
| $SDG$                          | هزینه خاموش شدن DDG                           | $P_{LIL}^{min}$         | حداقل بار قابل قطع قیمت پائین                |
| $B1$                           | هزینه بهره برداری بار DDG                     | $P_{LIL}^{max}$         | حداکثر بار قابل قطع قیمت پائین               |
| $B2$                           | هزینه متغیر بهره برداری DDG                   | $\nu$                   | ضریب ارزش بار قابل قطع قیمت پائین            |
| $\gamma_{1,\gamma_2,\gamma_3}$ | ضرائب تابع پیشنهاد قیمت                       | $k_1,k_2,k_3$           | ضرائب تابع هزینه بار قابل قطع قیمت پائین     |
| $P_{DDG}^{min}$                | حداقل توان تولیدی توسط DDG                    | $P_{HIL}$               | میزان بار قابل قطع قیمت بالا                 |
| $P_{DDG}^{max}$                | حداکثر توان تولیدی توسط DDG                   | $P_{HIL}^{min}$         | حداقل بار قابل قطع قیمت بالا                 |
| $P_{IDG}^{min}$                | حداقل توان تولیدی توسط IDG                    | $P_{HIL}^{max}$         | حداکثر بار قابل قطع قیمت بالا                |
| $P_{IDG}^{max}$                | حداکثر توان تولیدی توسط IDG                   | $t_{1,t_2,t_3}$         | ضرائب تابع هزینه بار قابل قطع قیمت پائین     |
|                                |   | $\lambda$               | قیمت خرده فروشی برق (توضیح شرکت توزیع)       |

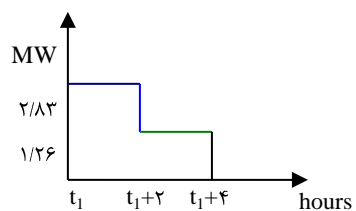
## ۲- اطلاعات سیستم مورد مطالعه



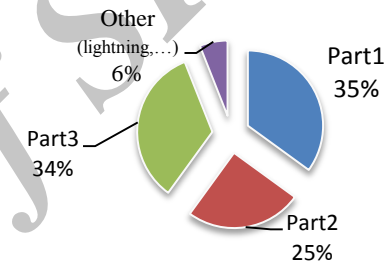
شکل (ض-۲) فرایند تولید سیمان



شکل (ض-۲) دیاگرام تک خطی سیستم مورد مطالعه



شکل (ض-۲) نحوه مشارکت شرکت سیمان مشهد در بازار بار قابل



شکل (ض-۲) درصد مصرف انرژی در فرایند تولید سیمان

قطع

| ظرفیت تولید<br>$t/hr$ | مصرف برق<br>$KWh/t$ | ضریب<br>بهره‌برداری | بازده | زیرفرایند   |
|-----------------------|---------------------|---------------------|-------|---|
| ۲۰۰                   | ۲/۴                 | ۰/۹۵                | ۷/۹۰  | Sp <sub>1</sub> , Sp <sub>2</sub>                   |
| ۱۷۵                   | ۲۸                  | ۰/۹                 | ۷/۸۵  | Sp <sub>3</sub>                                     |
| ۱۷۰                   | ۱۴/۶                | ۰/۹                 | ۷/۹۰  | Sp <sub>4</sub> , Sp <sub>5</sub> , Sp <sub>6</sub> |
| ۱۶۵                   | ۲۳/۴                | ۰/۸۵                | ۷/۷۵  | Sp <sub>7</sub> , Sp <sub>8</sub>                   |
| ۱۵۰                   | ۴۳/۵                | ۰/۹                 | ۷/۹۰  | Sp <sub>9</sub> , Sp <sub>10</sub>                  |
| ۱۲۰                   | ۱/۱                 | ۰/۹۸                | ۷/۹۵  | Sp <sub>11</sub>                                    |

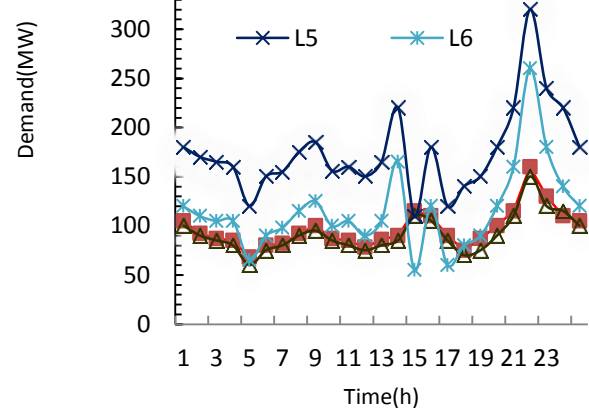
جدول (ض-۱) زیرفرایندهای تولید سیمان

جدول (ض-۲) مشخصات واحدهای تولید پراکنده تحت مالکیت سرمایه‌گذار

| $\gamma_1$ | $\gamma_2$ | $\Gamma_3$ | $P_{IDG}^{\min}$<br>(MW) | $P_{IDG}^{\max}$<br>(MW) | IDG  |
|------------|------------|------------|--------------------------|--------------------------|------|
| ۰/۲۳       | ۰/۲۷       | ۰/۰۱۲      | ۰/۵                      | ۲/۴                      | IDG1 |
| ۰/۸۷       | ۰/۶۷       | ۰/۰۲۳      | ۰/۸                      | ۴/۲                      | IDG2 |

جدول (ض-۳) مشخصات واحدهای تولید پراکنده شرکت توزیع  
(Genco)  
جدول (ض-۴) مشخصات تولید کنندگان عده برق

| STC<br>(hour) | SDG<br>(hour) | B <sub>1</sub> | B <sub>2</sub> | $P_{DDG}^{\min}$<br>(MW) | $P_{DDG}^{\max}$<br>(MW) | DDG  |
|---------------|---------------|----------------|----------------|--------------------------|--------------------------|------|
| ۰/۵           | ۰/۶۷          | ۰/۰۱۲          | ۰/۰۲۳          | ۰/۵                      | ۲/۱                      | DDG1 |
| ۰/۵           | ۰/۶۷          | ۰/۰۲۳          | ۰/۰۵۲          | ۰/۵                      | ۳/۷                      | DDG2 |



شکل (ض-۵) نمودار بار مصرفی سیستم مورد مطالعه

| $P_{\min}$<br>(MW) | $P_{\max}$<br>(MW) | $\alpha$<br>(\$/((MW) <sup>2</sup> h)) | $\beta$<br>(\$/MWh) | $\gamma$<br>(\$/h) | Genco |
|--------------------|--------------------|--|---------------------|--------------------|-------|
| ۰                  | ۶۰۰                | ۰/۰۹                                   | ۵۴/۷۶               | ۶۸۵                | G1    |
| ۰                  | ۱۶۰                | ۰/۱۳                                   | ۶۵/۵۷               | ۷۱۲                | G2    |
| ۰                  | ۱۶۰                | ۰/۲۱                                   | ۷۶/۵۳               | ۸۴۰                | G3    |
| ۰                  | ۴۵۰                | ۰/۰۷                                   | ۴۶/۹۴               | ۶۵۰                | G4    |

جدول (ض-۲) مشخصات خطوط انتقال

| خط | محدودیت انتقال توان (MW) | X (p.u.) | به باس | از باس |
|----|--------------------------|----------|--------|--------|
| ۱  | ۳۴                       | ۰/۰۹۰    | ۳      | ۱      |
| ۲  | ۱۲۰                      | ۰/۰۲۰    | ۵      | ۱      |
| ۳  | ۴۰                       | ۰/۰۲۵    | ۸      | ۱      |
| ۴  | ۲۰                       | ۰/۰۲۵    | ۷      | ۲      |
| ۵  | ۳۲                       | ۰/۰۲۰    | ۸      | ۲      |
| ۶  | ۱۲                       | ۰/۰۵۵    | ۴      | ۳      |
| ۷  | ۱۲۰                      | ۰/۰۲۵    | ۶      | ۳      |
| ۸  | ۱۶                       | ۰/۰۱۲    | ۷      | ۳      |
| ۹  | ۲۳                       | ۰/۰۲۰    | ۵      | ۴      |
| ۱۰ | ۳۲                       | ۰/۰۲۳    | ۶      | ۴      |

جدول (ض-۲) مشخصات بارهای قابل قطع

| بار | باس | ضریب ارزش ( $\lambda_i$ )            | $K_3 \text{ or } \tau_3$ | $K_2 \text{ or } \tau_2$ | $K_1 \text{ or } \tau_1$ | حداکثر مقدار قطع | حداکثر مقدار قطع | نوع بار |
|-----|-----|--------------------------------------|--------------------------|--------------------------|--------------------------|------------------|------------------|---------|
| IL1 | ۸   | ۰/۹۳                                 | ۰/۰۲۱                    | ۱۲                       | ۰/۰۱                     | ۱۲MW             | ۱۲MW             | HIL     |
| IL2 | ۵   | ۰/۶۷                                 | ۰/۰۲۰                    | ۵۳۰                      | ·                        | ۱۱/۲ MW          | ۱۱/۲ MW          | LIL     |
| IL3 | ۶   | ۰/۹۱                                 | ۰/۰۲۰                    | ۳۵۰                      | ·                        | ۱۰ MW            | ۱۰ MW            | LIL     |
| IL4 | ۱   | ۰/۷۴                                 | ۰/۰۲۰                    | ۲۴۰                      | ·                        | ۱۴/۶ MW          | ۱۴/۶ MW          | LIL     |
| IL5 | ۵   | ۸۷/۰                                 | ۰/۰۲۰                    | ۳۵۰                      | ·                        | ۱۱/۳ MW          | ۱۱/۳ MW          | LIL     |
| IL6 | ۷   | مانند شکل (ض-۲) و پرداخت بر اساس LMP | ۰/۰۲۰                    | ۰/۰۲۰                    | ۰/۰۲۰                    | ۲/۸۳ MW          | ۲/۸۳ MW          | HIL     |

جدول (ض-۲) نتایج سtarیوهای مختلف

| سناریو                                     | الف-۲     | ب-۲       | ج-۲      | ض-۲      |
|--|-----------|-----------|----------|----------|
| بار قابل قطع قیمت پائین (MW)               | ۰         | ۰         | ۲۱/۲     | ۳۴/۰۳    |
| بار قابل قطع قیمت بالا (MW)                | ۰         | ۰         | ۱۴۸۳     | ۲/۹۳     |
| DG تحت مالکیت شرکت توزیع (MW)              | ۰         | ۲/۱       | ·        | ۵/۳      |
| DG تحت مالکیت سرمایه‌گذار (MW)             | ۰         | ۶/۶       | ·        | ۶/۶      |
| بازار عمده فروشی (MW)                      | ۱۱۸۵/۲    | ۱۱۷۶/۹    | ۱۱۴۹/۱۷  | ۱۱۳۶/۳۴  |
| جمع کل (MW)                                | ۱۱۸۵/۲    | ۱۱۸۵/۲    | ۱۱۸۵/۲   | ۱۱۸۵/۲   |
| سود شرکت توزیع (\$)                        | -۷۳۶/۴۱   | ۵۶۳/۵۷    | ۱۹۷۸/۶۴  | ۲۷۳۸/۶۴  |
| هزینه پرداختی به واحدهای تولید عمده (\$/h) | ۱۰۰۱۶۵/۷۳ | ۹۷۴۵۶۱/۲۷ | ۸۱۲۳۵/۵۲ | ۶۲۸۴۳/۸۱ |
| (\$/MWh) Bus1 در LMP                       | ۲۵/۳۴     | ۲۴/۳۹     | ۲۱/۸۶    | ۱۸/۷۶    |
| (\$/MWh) Bus2 در LMP                       | ۱۶۲/۸۴    | ۱۳۲/۵۷    | ۷۴/۶۱    | ۶۵/۳۱    |
| (\$/MWh) Bus3 در LMP                       | ۱۳۵/۴۲    | ۱۰۶/۶۴    | ۸۲/۱۴    | ۶۹/۴۳    |
| (\$/MWh) Bus4 در LMP                       | ۳۲/۸۷     | ۲۹/۳۱     | ۲۴/۱۲    | ۱۹/۰۸    |
| (\$/MWh) Bus5 در LMP                       | ۲۳/۶۴     | ۲۴/۵۷     | ۲۲/۰۱    | ۲۰/۴۹    |
| (\$/MWh) Bus6 در LMP                       | ۲۷/۴۶     | ۲۳/۸۲     | ۲۰/۵۷    | ۲۱/۶۹    |
| (\$/MWh) Bus7 در LMP                       | ۱۲۵/۳۷    | ۸۷/۲۳     | ۶۷/۲۴    | ۵۸/۲۶    |
| (\$/MWh) Bus8 در LMP                       | ۲۸/۹۷     | ۲۹/۳۴     | ۲۷/۲۱    | ۲۲/۳۷    |
| CvaR (\$)                                  | ۹۵۸/۱۵    | ۳۹۱/۳۷    | ۱۸۷/۷۲   | ۴۳/۲۳    |

## مراجع

- Competitive Environments*, IEEE Trans. Power Syst., vol. 20, pp. 1797–1807, Nov. 2012.
- [7] Haiying Li., Yuzeng Li and Zuyi Li, *A multi period energy acquisition model for distribution company with distribution generation and interruptible load*, IEEE Trans Power Syst., vol. 22, pp. 588–596, Nov. 2007.
- [8] S. Ashok and Rangan Banerjee, *An Optimization Mode for Industrial Load Management*, IEEE Trans Power Syst., vol. 16, pp. 879–883, Nov. 2001.
- [9] Jahan, M.S. and Amjady, N., *Solution of large-scale security constrained optimal power flow by a new bi-level optimisation approach based on enhanced gravitational search algorithm*, Generation, Transmission & Distribution, IET, Vol.:7, pp. 1481 – 1491, December 2013.
- [10] H. Safari Farmad and H. Rajabi Mashhadi, *Effects of Interruptible Load on Decision Making of a Distribution Company in Competitive Environments*, Iranian Journal of Electrical & Electronic Engineering, Vol. 11, No. 1, March 2015.
- [1] M. Yousefi Ramandi, K. Afshar, and N. Bigdeli, *Unit commitment considering position of interruptible load in energy and reserve simultaneous market*, International Journal on Technical and Physical Problems of Engineering, June 2014, vol. 2, pp. 1–10.
- [2] P. M. Sotkiewicz and J. M. Vignolo, *Nodal pricing for distribution networks: efficient pricing for efficiency enhancing DG*, IEEE Transactions on Power Systems, Vol. 21, May 2006, pp. 1013-1014.
- [3] D. Lawrence and B. Neenan, *The status of demand response in New York*, IEEE Power Eng. Soc. General Meeting proc., 2009, vol. 4, pp. 2270–2274.
- [4] NERC *Operating Policy-IO on Interconnected Operations Services*, Draft-3.1, February 2013.
- [5] J. Liu, M. Salama, and R. Mansour, *Identify the impact of distributed resources on congestion management*, IEEE Trans. Power Delivery, vol. 20, pp. 1998–2005, Jul. 2005.
- [6] Haghigat H. and Kennedy S.W., *A Bilevel Approach to Operational Decision Making of a Distribution Company in*